

# 人乳腺癌中 p21<sup>WAF1</sup> 组蛋白 H3、H4 乙酰化水平的表达变化

赵洁, 刘朝晖, 伍玲, 娄华英

(湖南省马王堆医院, 湖南长沙 410016)

**摘要:** [目的] 探讨人乳腺癌中 p21<sup>WAF1</sup> 组蛋白 H3、H4 乙酰化水平的变化及其意义。[方法] 应用 HE 染色鉴定乳腺癌的病理形态变化, RT-PCR 检测 p21<sup>WAF1</sup> mRNA 的表达, 染色质免疫沉淀法检测 p21<sup>WAF1</sup> 组蛋白 H3、H4 乙酰化的状态。[结果] HE 染色可见, 与癌旁组织及正常乳腺组织相比, 乳腺癌组织结构及细胞形态有明显的异型性。RT-PCR 检测结果显示, 乳腺癌组织中 p21<sup>WAF1</sup> mRNA 的表达水平明显低于癌旁组织及正常乳腺组织 ( $P<0.05$ ); p21<sup>WAF1</sup> mRNA 在组蛋白 H3、H4 乙酰化水平降低乳腺癌中的表达明显低于组蛋白 H3、H4 乙酰化水平非降低乳腺癌中的表达 ( $P<0.05$ ); p21<sup>WAF1</sup> mRNA 表达降低与人乳腺癌的临床分期、分化程度和淋巴结转移有关。染色质免疫沉淀法显示, 乳腺癌组织中 p21<sup>WAF1</sup> 组蛋白 H3、H4 的乙酰化水平明显低于癌旁组织及正常乳腺组织; p21<sup>WAF1</sup> 乙酰化水平降低与人乳腺癌的分化程度和淋巴结转移有关。[结论] p21<sup>WAF1</sup> 组蛋白 H3、H4 乙酰化的表达变化与乳腺癌的发生发展密切相关。

**主题词:** 乳腺肿瘤; 组蛋白乙酰化; p21<sup>WAF1</sup>

**中图分类号:** R737.9    **文献标识码:** A    **文章编号:** 1671-170X(2014)02-0086-05

doi:10.11735/j.issn.1671-170X.2014.02.B002

## The Expression Change of Histone H3 and H4 Acetylation on p21<sup>WAF1</sup> in Human Breast Cancer

ZHAO Jie, LIU Zhao-hui, WU Ling, et al.

(Hunan Mawangdui Hospital, Changsha 410016, China)

**Abstract:** [Purpose] To explore the expression of histone H3, H4 acetylation of p21<sup>WAF1</sup> on human breast cancer and its significance. [Methods] Pathological morphologic change of breast cancer was identified by HE-staining. The expression of p21<sup>WAF1</sup> mRNA was analyzed by RT-PCR. The acetylation of histone H3 and H4 on p21<sup>WAF1</sup> were detected by chromatin immunoprecipitation (ChIP) assay. [Results] HE-staining discovered that the tissue structure and cell morphous of breast cancer had visible atypia, compared with para-carcinoma tissues and normal breast tissues. RT-PCR test showed that the expression of p21<sup>WAF1</sup> mRNA was lower in breast cancer tissues than that in para-carcinoma tissues or normal breast tissues ( $P<0.05$ ). The expression of p21<sup>WAF1</sup> mRNA was lower in low histone H3 and H4 breast cancer tissues than that in the no low histone H3 and H4 breast cancer tissues. The low expression of p21<sup>WAF1</sup> mRNA correlated to the clinical stage, differentiation degree and lymph transfer of breast cancer. Chromatin immunoprecipitation assay displayed that the level of histone H3 and H4 acetylation on p21<sup>WAF1</sup> was lower in breast cancer tissues than that in para-carcinoma tissues and normal breast tissues. The low acetylation level of p21<sup>WAF1</sup> associated with the differentiation degree and lymph node metastasis of human breast cancer. [Conclusion] The expression change of histone acetylation of p21<sup>WAF1</sup> may relate to the carcinogenesis and progress of breast cancer.

**Subject words:** breast neoplasms; histone acetylation; p21<sup>WAF1</sup>

乳腺癌是女性常见的恶性肿瘤之一, 近 20 年来, 对于乳腺癌病因的研究有了迅速、深入的进展,

**基金项目:** 湖南省科技厅基金项目(2008FJ322)

**通讯作者:** 赵洁, 副主任医师, 硕士; 湖南省马王堆医院病理科, 湖南省长沙市古汉路 89 号(410016); E-mail: shehaihong970622@126.com

**收稿日期:** 2013-09-18; 修回日期: 2013-10-31

但真正的病因尚不清楚, 还有待进一步探讨。组蛋白的乙酰化与去乙酰化是基因表达过程中重要的调控方式, 通常认为组蛋白的高乙酰化是活跃转录的一个标志, 而低乙酰化则与转录抑制有关<sup>[1,2]</sup>。组蛋白乙酰化/去乙酰化紊乱可造成细胞分化所需基

因的异常,导致不成熟的细胞增殖失控,引起人类恶性肿瘤的发生<sup>[3]</sup>。p21<sup>WAF1</sup> 属于 CK1 的 KIP 家族,研究发现它与结肠癌<sup>[4,5]</sup>、卵巢癌<sup>[6]</sup>、脑胶质瘤<sup>[7]</sup>等的发生、发展密切相关。p21<sup>WAF1</sup> 组蛋白乙酰化与乳腺癌发生发展的关系目前研究尚未清楚。为此,我们检测了 120 例乳腺癌组织及其癌旁组织与 120 例正常乳腺组织中乙酰化的组蛋白 H3、H4 及 p21<sup>WAF1</sup> 的表达情况及其关系,探讨组蛋白乙酰化及 p21<sup>WAF1</sup> 与乳腺癌发生发展的关系。

## 1 资料与方法

### 1.1 标本采集与处理

收集湖南省马王堆医院 2010 年 3 月至 2012 年 3 月手术切除的 120 例乳腺癌标本及其癌旁组织,120 例正常乳腺组织取自乳腺肿瘤周围正常乳腺组织,所有患者手术前未经过任何治疗。标本离体后,一部分立即放入液氮冷冻,-80°C超低温冰箱贮存备用,用于 RT-PCR 等分析;一部分经 4% 中性甲醛固定,石蜡包埋。参考《WHO 肿瘤病理学与遗传学分类/乳腺肿瘤分册》对乳腺癌进行病理分型与组织学分级。

### 1.2 p21<sup>WAF1</sup> mRNA 的检测

用 RT-PCR 检测三种不同组织的 mRNA,总 RNA 抽提按照 Trizol(Invitrogen, Carlsbad, USA)试剂盒的说明书进行,反转录合成 cDNA, 进行 PCR 扩增,以 GAPDH 为内参照。用 1.5% 琼脂糖凝胶电泳分离 PCR 产物,BioSpectrum AC 凝胶成像分析系统扫描分析。用自动酶标仪测定吸光度值,以 p21<sup>WAF1</sup> 与 GAPDH 扩增条带测得的吸光度比值表示 p21<sup>WAF1</sup> mRNA 的相对表达水平。PCR 引物由上海生物公司设计及合成:p21<sup>WAF1</sup> 正向引物:5'-CAGGGGACACCCAGAGGAAGA-3'; 反向引物:5'-CGCCGGCCAGGTATGTAC-3'。GAPDH 为内参照,正向引物:5'-CAAGGTCTATCCATGACAACTTG-3'; 反向引物:5'-GTCCACCACCCCTGTTGCTGTAG-3'。PCR 扩增条件:变性 94°C 15s, 复性 55°C 20s 及延伸 72°C 15s, 共 40 个循环。

### 1.3 p21<sup>WAF1</sup> 组蛋白 H3、H4 乙酰化的检测

按照 ChIP (P-2003, Epigentek) 试剂盒说明书进行。步骤简述如下:称取各组组织约 20mg,用眼科剪

剪碎,加入终浓度为 1% 的甲醛,固定 15~20min,然后加入终浓度 0.125mol/L 的甘氨酸终止固定反应。固定后的组织经裂解液裂解后用超声波破碎仪断裂染色质,得到全细胞抽提物。抽提物稀释后,加入乙酰化组蛋白 H3、H4 抗体,4°C 轻微摇动过夜,依次用低盐洗液、高盐洗液、氯化锂洗液及 TE 洗涤沉淀,弃上清。在沉淀中,加入 ChIP 提取液,在 ChIP 提取液和 Input 样品中,分别加入 5mol/L NaCl 及 RNase A,混匀后,65°C 温育 5h。然后再加入 EDTA、Tris-HCl(pH6.5)、蛋白酶 K,混匀后,45°C 温育过夜。用等体积的酚:氯仿:异戊醇抽提后,在上清中加入糖元和无水乙醇,混匀,-20°C 放置 2h,4°C 离心(12 000r/min,15min),弃上清,用 70% 乙醇洗涤沉淀,晾干后,溶于灭菌水中,PCR 分析。

### 1.4 统计学处理

应用 SPSS 18.0 统计软件对数据进行统计分析,采用  $\chi^2$  检验,  $P < 0.05$  为差异有统计学意义。

## 2 结 果

### 2.1 乳腺癌组织病理形态学检查

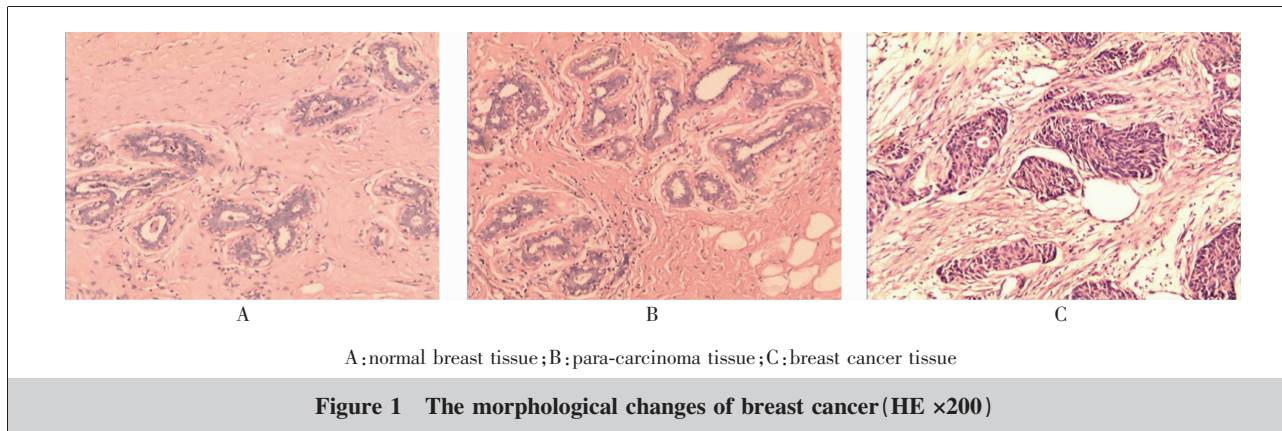
与正常乳腺组织相比,人乳腺癌细胞排列混乱,呈索状、簇状、小梁状排列,癌细胞大小形态各异,多形性明显,呈圆形、梭形等,胞质丰富,核大、深染,有明显核仁,核分裂相多见,癌间质有致密的纤维组织增生,癌细胞在纤维间质内呈浸润性生长;癌旁组织结构上有一定异型性,腺腔排列不规则,纤维间质稍有增生,但细胞无明显异型性(Figure 1)。120 例乳腺癌组织中,非特殊浸润性导管癌 93 例,浸润性小叶癌 15 例,髓样癌 7 例,小管癌 5 例;中高分化 79 例,低分化 41 例。临床 I、II 期 57 例,III、IV 期 63 例。病理证实有淋巴结转移 68 例,无淋巴结转移 52 例。

### 2.2 人乳腺癌组织、癌旁组织及正常乳腺组织中 p21<sup>WAF1</sup> mRNA 的表达

人乳腺癌组织中 p21<sup>WAF1</sup> mRNA 的水平明显低于癌旁组织及正常乳腺组织,差异有统计学意义( $P < 0.01$ )。然而,癌旁组织与正常乳腺组织中 p21<sup>WAF1</sup> mRNA 的表达无明显差别( $P > 0.05$ )(Figure 2)。

### 2.3 p21<sup>WAF1</sup> 在乳腺癌组织、癌旁组织及正常乳腺组织中组蛋白 H3、H4 的乙酰化状态

p21<sup>WAF1</sup> 组蛋白 H3、H4 的乙酰化水平在乳腺癌

Figure 1 The morphological changes of breast cancer (HE  $\times 200$ )

组织中的表达明显低于癌旁组织及正常乳腺组织( $P$ 均 $<0.05$ )(Figure 3)。

#### 2.4 $p21^{WAF1}$ 乙酰化降低与非降低的乳腺癌组织中 $p21^{WAF1}$ mRNA 表达情况

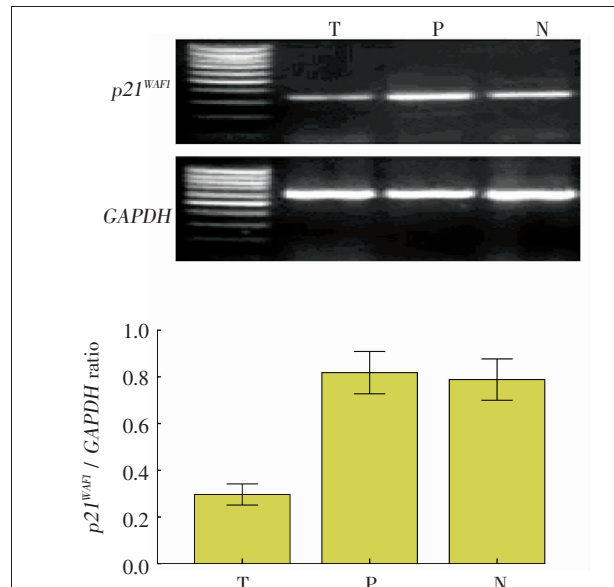
在 92 例组蛋白 H3 乙酰化水平降低的乳腺癌组织中,66 例  $p21^{WAF1}$  mRNA 表达降低,占 71.7%;在 28 例组蛋白 H3 乙酰化水平非降低的乳腺癌组织中,6 例  $p21^{WAF1}$  mRNA 表达降低,占 21.4%;在 88 例组蛋白 H4 乙酰化水平降低的乳腺癌组织中,62 例  $p21^{WAF1}$  mRNA 表达降低,占 70.5%;在 32 例组蛋白 H4 乙酰化水平非降低的乳腺癌组织中,10 例  $p21^{WAF1}$  mRNA 表达降低,占 31.3%。 $p21^{WAF1}$  mRNA 在组蛋白 H3 乙酰化水平降低的乳腺癌组织中表达明显低于组蛋白 H3 乙酰化水平非降低的乳腺癌组织 ( $P<0.05$ ); $p21^{WAF1}$  mRNA 在组蛋白 H4 乙酰化水平降低的乳腺癌组织中表达明显低于组蛋白 H4 乙酰化水平非降低的人乳腺癌组织 ( $P<0.05$ )(Table 1)。

#### 2.5 $p21^{WAF1}$ 基因乙酰化降低和 $p21^{WAF1}$ mRNA 表达降低与乳腺癌患者临床病理特征的关系

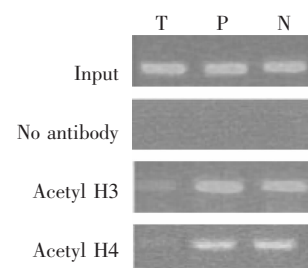
$p21^{WAF1}$  基因乙酰化水平降低与乳腺癌患者的性别、临床分期、病理类型均无关( $P$ 均 $>0.05$ ),而与乳腺癌的分化程度和淋巴结转移有关 ( $P$ 均 $<0.05$ ); $p21^{WAF1}$  mRNA 表达降低与乳腺癌患者的性别、病理类型均无关( $P$ 均 $>0.05$ ),而与乳腺癌的临床分期、分化程度和淋巴结转移有关( $P$ 均 $<0.05$ )(Table 2)。

### 3 讨 论

$p21^{WAF1}$  是发现的第一个 CDK 抑制物 (CDK4 的抑制蛋白),在细胞生物学行为方面有各种各样的重



T:breast cancer tissue;P:para-carcinoma tissue;N:normal breast tissue. Compared with breast cancer tissue, $P<0.01$ ;Normal breast tissue compared with para-carcinoma tissue, $P>0.05$ .

Figure 2 The expression of  $p21^{WAF1}$  mRNA in breast cancer tissue, para-carcinoma tissue and normal breast tissue

T:breast cancer tissue;P:para-carcinoma tissue;N:normal breast tissue. Compared with breast cancer tissue, $P<0.01$ ;Normal breast tissue compared with para-carcinoma tissue, $P>0.05$ .

Figure 3 The expression of histone H3 and H4 acetylation of  $p21^{WAF1}$  in breast cancer tissue, para-carcinoma tissue and normal breast tissue

**Table 1 The expression of *p21<sup>WAF1</sup>* mRNA in low *p21<sup>WAF1</sup>* acetylation breast cancer tissue and no low *p21<sup>WAF1</sup>* acetylation breast cancer tissue**

Groups	N	<i>p21<sup>WAF1</sup></i> mRNA		$\chi^2$	P
		Down	Not down		
Low histone H3 acetylation of <i>p21<sup>WAF1</sup></i>	92	66	26	22.64	<0.01
No low histone H3 acetylation of <i>p21<sup>WAF1</sup></i>	28	6	22		
Low histone H4 acetylation of <i>p21<sup>WAF1</sup></i>	88	62	26	15.03	<0.01
No low histone H4 acetylation of <i>p21<sup>WAF1</sup></i>	32	10	22		

**Table 2 The relation of *p21<sup>WAF1</sup>* low acetylation and *p21<sup>WAF1</sup>* mRNA low expression and clinical pathology characteristic in breast cancer**

Factors	N	Low histone H3 acetylation of <i>p21<sup>WAF1</sup></i>	$\chi^2$	P	Low histone H4 acetylation of <i>p21<sup>WAF1</sup></i>	$\chi^2$	P	Low expression of <i>p21<sup>WAF1</sup></i> mRNA	$\chi^2$	P
Gender										
Male	8	6	0.013	>0.05	7	0.880	>0.05	5	0.022	>0.05
Femal	112	86			81			67		
Differentiation degree										
High and moderate	79	55	6.418	<0.05	52	6.670	<0.05	41	6.323	<0.05
Low	41	37			36			31		
Clinical stage										
I, II	57	41	1.362	>0.05	39	1.340	>0.05	27	7.218	<0.01
III, IV	63	51			49			45		
Lymphatic metastasis										
+	68	58	6.529	<0.05	55	4.573	<0.05	47	5.436	<0.05
-	52	34			33			25		
Pathological type										
Infiltrating ductal carcinoma	93	71			69			56		
Infiltrating lobular carcinoma	15	12	0.237	>0.05	10	0.503	>0.05	9	0.260	>0.05
Medullary carcinoma	7	5			5			4		
Tubular carcinoma	5	4			4			3		

要功能。许多实验证明 *p21<sup>WAF1</sup>* 在癌细胞中是一个重要的抑癌基因<sup>[8,9]</sup>。本实验研究结果显示,乳腺癌组织中 *p21<sup>WAF1</sup>* mRNA 的表达明显低于癌旁组织及正常乳腺组织,而癌旁组织与正常乳腺组织中 *p21<sup>WAF1</sup>* mRNA 的表达无明显差别;*p21<sup>WAF1</sup>* mRNA 表达降低与人乳腺癌的临床分期、分化程度和淋巴结转移有关,临床分期及分化程度越低,*p21<sup>WAF1</sup>* mRNA 表达越低;有淋巴结转移的乳腺癌 *p21<sup>WAF1</sup>* mRNA 的表达明显低于无淋巴结转移的乳腺癌 *p21<sup>WAF1</sup>* mRNA 的表达,这表明 *p21<sup>WAF1</sup>* 表达降低与乳腺癌的发生发展密切相关。与 Gamboa-Dominguez 等<sup>[10]</sup>研究 *p21<sup>WAF1</sup>* 表达与胃癌的发生发展有关的结果一致。染色体组蛋白乙酰化/去乙酰化的变化与细胞周期的变化相关,组蛋白乙酰化水平升高可以使细胞周期阻滞在 G<sub>1</sub> 或 G<sub>2</sub>/M 检测点,从而抑制肿瘤细胞的增殖<sup>[11]</sup>。组蛋白乙酰化的水平是由组蛋白乙酰转移酶(HATs)和

组蛋白去乙酰酶(HDACs)共同决定的,组蛋白去乙酰酶的抑制剂(DIAs)能抑制组蛋白去乙酰化,提高组蛋白乙酰化的水平。本研究结果显示,乳腺癌组织中 *p21<sup>WAF1</sup>* 乙酰化的组蛋白 H3、H4 水平明显低于癌旁组织及正常乳腺组织,且 *p21<sup>WAF1</sup>* 乙酰化水平降低与人乳腺癌的分化程度和淋巴结转移有关(*P*均<0.05),分化程度越低 *p21<sup>WAF1</sup>* 乙酰化水平越低;有淋巴结转移的乳腺癌 *p21<sup>WAF1</sup>* 乙酰化水平明显低于无淋巴结转移的乳腺癌 *p21<sup>WAF1</sup>* 乙酰化水平。与以往报道的乙酰化组蛋白 H3、H4 在人结肠癌<sup>[12]</sup>、前列腺癌<sup>[13]</sup>、肺癌<sup>[14]</sup>及乳腺癌细胞<sup>[15]</sup>中的水平明显降低一致,提示乳腺癌的发生发展与 *p21<sup>WAF1</sup>* 组蛋白 H3、H4 的乙酰化水平降低有关。本研究中我们还发现,*p21<sup>WAF1</sup>* mRNA 在组蛋白 H3、H4 乙酰化水平降低乳腺癌组织中的表达明显低于其在组蛋白 H3、H4 乙酰化非降低人乳腺癌组织中的表达。以上结果提示,*p21<sup>WAF1</sup>*

组蛋白 H3、H4 乙酰化水平降低可能引起  $p21^{\text{WAF1}}$  mRNA 的表达降低，从而导致  $p21^{\text{WAF1}}$  抑癌功能失活，引起乳腺癌的发生发展。

综上所述， $p21^{\text{WAF1}}$  mRNA 及  $p21^{\text{WAF1}}$  乙酰化的组蛋白 H3、H4 在乳腺癌组织中的表达均明显低于癌旁组织及正常乳腺组织，于是我们推测  $p21^{\text{WAF1}}$  基因乙酰化水平降低导致  $p21^{\text{WAF1}}$  mRNA 的降低是乳腺癌发生发展的重要因素之一。

## 参考文献：

- [1] Schlottmann S, Erkizan HV, Barber-Rotenberg JS, et al. Acetylation increases EWS-FLI1 DNA binding and transcriptional activity [J]. Front Oncology, 2012, 2(107):1–12.
- [2] Halsall J, Gupta V, O'Neill LP, et al. Genes are often sheltered from the global histone hyperacetylation induced by HDAC inhibitors [J]. PLoS One, 2012, 7(3):1–7.
- [3] Fortson WS, Kayarthodi S, Fujimura Y, et al. Histone deacetylase inhibitors, valproic acid and trichostatin-A induced apoptosis and affect acetylation status of p53 in ERG-positive prostate cancer cells[J]. Int J Oncol, 2011, 39(1):111–119.
- [4] Bauer J, Spom JC, Cabral J, et al. Effects of activin and TGF $\beta$  on p21 in colon cancer[J]. PLoS One, 2012, 7(6):1–11.
- [5] Walczak K, Turski WA, Rzeski W. Kynurenic acid enhances expression of p21 Waf1/Cip1 in colon cancer HT-29 cells[J]. Pharmacol Rep, 2012, 64(3):745–750.
- [6] Xia X, Ma Q, Li X, et al. Cytoplasmic p21 is a potential predictor for cisplatin sensitivity in ovarian cancer [J]. BMC Cancer, 2011, 11(399):1–9.
- [7] Zeng Y, Long XD, You C. MDM2, p53, p14ARF and  $p21^{\text{WAF1}}$  protein expression in gliomas and its significance [J]. Journal of Chinese Oncology, 2009, 15(6):541–544. [曾义, 龙晓东, 游潮. 脑胶质瘤组织中 MDM2、p53、p14ARF 和  $p21^{\text{WAF1}}$  蛋白表达及意义[J]. 肿瘤学杂志, 2009, 15(6): 541–544.]
- [8] Schaefer JS, Sabherwal Y, Shi HY, et al. Transcriptional regulation of p21/CIP1 cell cycle inhibitor by PDEF controls cell proliferation and mammary tumor progression [J]. J Biol Chem, 2010, 285(15):11258–11269.
- [9] Fischer CA, Jung M, Zlobec I, et al. Co-overexpression of p21 and Ki-67 in head and neck squamous cell carcinoma relative to a significantly poor prognosis [J]. J Head Neck, 2011, 33(2):267–273.
- [10] Gamboa-Dominguez A, Seidl S, Reyes-Gutierrez E, et al. Prognostic significance of p21WAF1/CIP1, p27Kip1, p53 and E-cadherin expression in gastric cancer[J]. J Clin Pathol, 2007, 60(7):756–761.
- [11] Zhao J, Su Q. Research progress on histone acetylation/deacetylation and leukemia[J]. Journal of Chinese Oncology, 2004, 10(6):436–439. [赵洁, 苏琦. 组蛋白乙酰化/去乙酰化与白血病的研究进展[J]. 肿瘤学杂志, 2004, 10(6): 436–439.]
- [12] Ikehata M, Ueda K, Iwakawa S. Different involvement of DNA methylation and histone deacetylation in the expression of solute-carrier transporters in 4 colon cancer cell lines[J]. Biol Pharm Bull, 2012, 35(3):301–307.
- [13] Bianco-Miotto T, Chiam K, Buchanan G, et al. Global levels of specific histone modifications and an epigenetic gene signature predict prostate cancer progression and development[J]. Cancer Epidemiol Biomarkers Prev, 2010, 19(10): 2611–2622.
- [14] Zhang QC, Jiang SJ, Zhang S, et al. Histone deacetylase inhibitor trichostatin A enhances anti-tumor effects of docetaxel or erlotinib in A549 cell line[J]. Asian Pac J Cancer Prev, 2012, 13(7):3471–3476.
- [15] Chatterjee N, Wang WL, Conklin T, et al. Histone deacetylase inhibitors modulate miRNA and mRNA expression, block metaphase, and induce apoptosis in inflammatory breast cancer cells[J]. Cancer Biol Ther, 2013, 14(7):658–671.